



## **Thalamus and Bilingualism: Evidence from fMRI**

**Simin Meykadeh<sup>1</sup>**

*PhD in Linguistics, Tarbiat Modares University, Tehran, Iran (Corresponding author)*

**Werner Sommer<sup>2</sup>**

*Professor in Psychology, Humboldt-Universität zu Berlin, Berlin, Germany*

**Seyed Amir Hossein Batouli<sup>3</sup>**

*Assistant Professor, Department of Neuroscience and Addiction Studies,  
Tehran University of Medical Sciences, Tehran, Iran*

**Received: July 13, 2023**

**Accepted: Nov 3, 2023**

### **Abstract**

Bilingualism is associated with structural adaptations of subcortical regions taking part in controlling multiple languages. The thalamus is a paired gray matter structure located near the center of the brain, regulating the information transmission to cortical regions. In a recent fMRI study, the sensitivity of the thalamus to grammatical and ungrammatical stimuli has been shown at whole-brain level in the first language (L1) of bilinguals. This study explored the activation patterns of bilateral thalamus in both L1 and L2 using a ROI-based approach. To do so, the percentage of signal change for grammatical and ungrammatical stimuli in L1 and L2 was extracted as the intensity measure per participant. Thirty-six Turkish-Persian bilinguals (21 women) who had acquired their L2 at the age of 7 were selected. Based on the Bilingual Dominance Scale, there was no significant difference between the proficiency level of participants in L1 (Turkish) and L2 (Persian). Participants carried out an auditory grammaticality judgment task in an alternating language switching paradigm while fMRI images were acquired. ROI-based results confirmed the grammaticality effect only in L1 and the left thalamus. Considering that L1 was the dominant language in this study and

---

1. Email: a.meykadeh@modares.ac.ir

2. Email: werner.sommer@cms.hu-berlin.de

3. Email: batouli@sina.tums.ac.ir

gave rise to larger reversed language dominance effects, it was suggested that the engagement of the thalamus in L1 is not associated with syntactic processing but instead may exert an overall *monitoring* and control function for language-specific cortical activities.

**Keywords:** Thalamus, Bilingualism, L1, Switching Costs, Left Hemisphere, fMRI

<https://doi.org/10.22067/jlkd.2023.83396.1179>



## تالاموس و دوزبانگی: شواهدی از fMRI

سیمین میکده، دکتری زبانشناسی، گروه زبانشناسی، دانشکده علوم انسانی، دانشگاه تربیت مدرس، تهران، ایران  
(نویسنده مسئول)<sup>۱</sup>

ورنر زومر، استاد، گروه روانشناسی، دانشگاه هومبولت برلین، برلین، آلمان<sup>۲</sup>

سیدامیرحسین بتولی، استادیار، گروه علوم اعصاب، دانشکده فناوری‌های نوین، دانشگاه علوم پزشکی تهران، تهران، ایران<sup>۳</sup>

صص ۲۹-۵۱

### چکیده

دوزبانگی با انطباق‌های ساختاری نواحی زیرقشری دخیل در کنترل چندین زبان مرتبط است (کرنار، ترفرز-دالر و پلیاستیکاس، ۲۰۲۳). تالاموس یک ساختار زوجی ماده خاکستری است که در نزدیکی مرکز مغز قرار دارد و انتقال اطلاعات به نواحی قشری را تنظیم می‌کند. اخیراً در یک مطالعه fMRI، حساسیت تالاموس به محرک‌های دستوری و نادرستی زبان اول در سطح کل-مغز در افراد دوزبانه شناسایی شد (میکده و همکاران، ۲۰۲۱ الف). مطالعه حاضر درصدد است با اتخاذ رویکرد ناحیه موردنظر، الگوهای فعالیت تالاموس دوجانبه را برای هر دو زبان اول و دوم بررسی کند. بدین منظور، درصد تغییر سیگنال محرک‌های دستوری و نادرستی در زبان اول و دوم به‌عنوان معیار «شدت» برای هر شرکت‌کننده استخراج شد. تعداد ۳۶ نفر دوزبانه ترکی-فارسی (۲۱ زن) که زبان دومشان را به‌طور رسمی در ۷ سالگی آموخته بودند، انتخاب شدند. بر مبنای شاخص تسلط دوزبانه، هیچ تفاوت معناداری بین سطوح بالای بسندگی شرکت‌کنندگان در زبان اول (ترکی) و دوم (فارسی) وجود نداشت. شرکت‌کنندگان یک آزمون شنیداری قضاوت دستوری بودگی با پارادایم زبان‌گردانی جایگزین را در حین اخذ تصاویر fMRI اجرا کردند. نتایج مبتنی بر ناحیه موردنظر، اثر دستوری بودگی را در زبان اول و تالاموس چپ تأیید کرد. با توجه به اینکه در پژوهش حاضر زبان اول به‌عنوان زبان غالب عمل کرد و اثرات معکوس بزرگ‌تری را ایجاد نمود، به نظر می‌رسد دخالت تالاموس در زبان اول به پردازش نحوی مربوط نمی‌شود، بلکه ممکن است تالاموس نقش کنترلی و نظارتی را برای فعالیت‌های زبان-ویژه قشر مغز ایفا می‌کند.

کلیدواژه‌ها: تالاموس، دوزبانگی، زبان اول، بار زبان‌گردانی، fMRI.

تاریخ دریافت: ۱۴۰۲/۴/۲۲ - تاریخ پذیرش: ۱۴۰۲/۹/۱۲

1. a.meykadeh@modares.ac.ir

پست الکترونیکی:

2. werner.sommer@cms.hu-berlin.de

3. batouli@sina.tums.ac.ir

## ۱. مقدمه

تالاموس، ساختاری متقارن است که در عمق قشر مغز و هسته دیانسفالون<sup>۱</sup> قرار دارد و به‌طور کلی نقش باز پخش اطلاعات بین نواحی مختلف قشری و زیرقشری مغز را به عهده دارد. تقریباً پنجاه سال پیش بود که سانیدس<sup>۲</sup> (۱۹۷۰) ادعا کرد مسیر عملیاتی تالاموکورتیکال<sup>۳</sup>، پیش شرط ساختاری برای کارکردهای رفتاری پیچیده است. سال‌ها بعد، این دیدگاه با مشاهدات بالینی در بیمارانی با ضایعات تالامیک<sup>۴</sup> که منجر به اختلالات شناختی شده بودند، تأیید شد. علاوه بر این، شواهدی وجود دارد که نشان می‌دهد ضایعات تالامیک می‌تواند بر طیف گسترده‌ای از رفتارها از جمله رفتارهای ادراکی، توجهی، حافظه‌ای، اجرایی و به‌ویژه ظرفیت‌های زبانی تأثیر بگذارد (بوغوسلاوسکی<sup>۵</sup> و همکاران، ۱۹۸۸؛ ون در ورف<sup>۶</sup> و همکاران، ۲۰۰۰؛ فیم<sup>۷</sup> و همکاران، ۲۰۰۱؛ لیبرمن<sup>۸</sup> و همکاران، ۲۰۱۳؛ کلوسترمان، کوگل و ایلن<sup>۹</sup>، ۲۰۱۳). در بافت دوزبانگی نیز شواهد قابل توجهی وجود دارد که نشان می‌دهد تجارب دوزبانگی موجب انطباق ساختاری نواحی مغزی زیربنای زبان‌گردانی<sup>۱۰</sup>، کنترل شناختی و گفتاری و انتخاب زبان می‌شود (مشلی<sup>۱۱</sup> و همکاران، ۲۰۰۴؛ برگالتا<sup>۱۲</sup> و همکاران، ۲۰۱۶؛ فدلی<sup>۱۳</sup> و همکاران، ۲۰۲۱). مشخصاً، این تغییرات نواحی زیرقشری مانند هسته کودیت<sup>۱۴</sup>، گلوبوس پالیدوس<sup>۱۵</sup>، هسته اکومبنس<sup>۱۶</sup>، پوتامن<sup>۱۷</sup> و تالاموس را متأثر می‌کند که نواحی کلیدی برای کنترل زبان در دوزبان‌های باتجربه محسوب می‌شوند (هوسودا<sup>۱۸</sup> و همکاران، ۲۰۱۳؛ برکن، گرادو

1. Diencephalon
2. Sanides
3. Thalamo-cortical
4. thalamic
5. Bogousslavsky
6. Van Der Werf
7. Fimm
8. Liebermann
9. Klostermann, Krugel and Ehlen
10. Language-switching
11. Mechelli
12. Burgaleta
13. Fedeli
14. caudate nucleus
15. globus pallidus
16. nucleus accumbens
17. putamen
18. Hosoda

و کلاین<sup>۱</sup>، ۲۰۱۷؛ پلیاستیکاس<sup>۲</sup> و همکاران، ۲۰۱۷؛ دلوکا<sup>۳</sup> و همکاران، ۲۰۱۹؛ گلو<sup>۴</sup> و همکاران، ۲۰۲۱). اخیراً، کرنار، ترفرز-دالر و پلیاستیکاس<sup>۵</sup> (۲۰۲۳) نشان دادند که حجم نواحی تالاموس و پوتامن با میزان تجربه دوزبانها رابطه مثبت دارد. به عبارتی دقیق‌تر، هر چه تجربه فرد دوزبان بیشتر باشد، حجم نواحی تالاموس و پوتامن بزرگ‌تر خواهد بود. با توجه به اهمیت نقش ناحیه تالاموس در کنترل زبان در افراد دوزبان، پژوهش حاضر با بهره‌گیری از روش تصویربرداری تشدید مغناطیسی عملکردی<sup>۶</sup> (fMRI) بر روی این ناحیه زیرقشری متمرکز خواهد بود. روش تصویربرداری fMRI، غیرتهاجمی<sup>۷</sup> است و برای اندازه‌گیری و مکان‌یابی<sup>۸</sup> کارکردهای خاص مغز انسان بدون استفاده از اشعه عمل می‌کند. دقت مکانی ۲-۳ میلی‌متری fMRI (پروس و همکاران، ۲۰۱۸)، آن را به ابزاری قدرتمند برای تصویربرداری از مغز مبدل کرده است.

بر اساس دانش ما، مطالعه وارتنبرگر<sup>۹</sup> و همکارانش (۲۰۰۳) تنها اثری است که تا کنون به موضوع پردازش دستوری در افراد دوزبان پرداخته است. آن‌ها با به‌کارگیری سه گروه از دوزبانهای ایتالیایی-آلمانی با (۱) بسندگی بالا در زبان دوم و سن یادگیری خیلی زود هنگام<sup>۱۰</sup> (۲) بسندگی بالا در زبان دوم و سن یادگیری دیر هنگام<sup>۱۱</sup> و (۳) بسندگی پایین در زبان دوم و سن یادگیری دیر هنگام<sup>۱۲</sup> به بررسی تأثیر سن یادگیری و بسندگی زبانی با استفاده از یک تکلیف قضاوت دستوری بودگی دیداری<sup>۱۳</sup> که شامل دستکاری نشانگرهای صرفی بود، پرداختند. دوزبانهای زود هنگام از بدو تولد در معرض زبان دوم بودند؛ در حالی که میانگین سنی دوزبانهای دیر هنگام با بسندگی بالا و پایین به ترتیب ۱۸/۹ و ۲۰/۴ بود. در گروه دوزبانهای زود هنگام با بسندگی بالا در زبان دوم، هیچ تفاوتی در سطح فعالیت مغزی بین دو زبان اول و دوم مشاهده نشد. در حالی که در هر دو گروه دوزبانهای دیر هنگام، فعالیت گسترده‌تر ناحیه بروکا و ساختارهای زیرقشری (از جمله ناحیه تالاموس) در زبان دوم مشاهده شد. این نتایج مبین این است که بنیان نورو

- 
1. Berken, Gracco, Klein
  2. Pliatsikas
  3. DeLuca
  4. Gallo
  5. Korenar, Trefers-Daller & Pliatsikas
  6. Functional Magnetic Resonance Imaging (fMRI)
  7. non-invasive
  8. localization
  9. Wartenburger
  10. early acquisition of L2 and high proficiency in L2
  11. late acquisition of L2 and high proficiency in L2
  12. late acquisition of L2 and low proficiency in L2
  13. Virtual grammaticality judgment task

پردازش صرفی-نحوی حتی در دوزبانه‌های دیرهنگام با بسندگی زبانی بالا در زبان دوم (در حد سخنگویان بومی)، به سن یادگیری زبان دوم حساس است. فعالیت مغزی گسترده‌تر در دوزبانه‌های دیرهنگام حاکی از دشواری بیشتر پردازش زبان دوم در این افراد است که متأثر از یادگیری زبان دوم بعد از سن بلوغ<sup>۱</sup> است. نظر به اینکه تا کنون هیچ مطالعه‌ای پردازش همزمان نحوی زبان اول و دوم را در یک گروه واحد از افراد دوزبانه مورد بررسی قرار نداده است، پژوهش حاضر درصدد است الگوی فعالیت ناحیه تالاموس را در دوزبانه‌های متوازن<sup>۲</sup> بیازماید.

در بافت دوزبانگی، کنترل شناختی<sup>۳</sup> یا کارکردهای اجرایی<sup>۴</sup>، یک عامل اساسی در توانش زبان به شمار می‌رود (لرمان و اُبلر<sup>۵</sup>، ۲۰۱۷). دوزبانگی، منابع حافظه فعال را برای مدیریت زبان‌هایی که به‌طور پیوسته برای گزینش رقابت می‌کنند، به کار می‌گیرد (آنتون<sup>۶</sup> و همکاران، ۲۰۱۹). بر اساس مدل کنترل بازداری گرین<sup>۷</sup> (۱۹۹۸) یک سازوکار بازدارنده در رفع تعارض بین دوزبانی که به‌طور همزمان فعال‌اند دخالت دارد تا با مهار زبان غیرهدف<sup>۸</sup>، تولید زبان هدف<sup>۹</sup> را تسهیل کند. استدلال شده است که در دوزبانه‌های متأخر، زبان مادری به‌عنوان زبان غالب<sup>۱۰</sup> عمل می‌کند و هنگامی که دوزبانه‌ها در تلاش‌اند تا زبان اولشان را بعد از فعالیت زبان دوم مجدداً بازیابی کنند، دسترسی به بازنمایی‌های مهارشده در زبان اول زمان‌بر خواهد بود (رومان و گومز-گومز<sup>۱۱</sup>، ۲۰۲۲). در همین راستا، دکلرک، کلاین‌مان و گلن<sup>۱۲</sup> (۲۰۱۶)، مطرح کردند که دوزبانه‌ها گاهی اوقات اثرات تسلط زبان معکوس را بروز می‌دهند. این پژوهشگران با بررسی بیش از ۴۰۰ فرد دوزبانه دریافتند که دوزبانه‌های متوازن‌تر (در مقایسه با دوزبانه‌های کمتر متوازن) اثرات تسلط زبان معکوس بزرگ‌تری را در بلوک‌های زبان مختلط<sup>۱۳</sup> ایجاد می‌کنند. دلیل این امر این می‌تواند باشد که وقتی دوزبانه‌های متوازن تلاش می‌کنند تا به یک اندازه به هر دو زبان دسترسی داشته باشند، ممکن است دچار خطای بیشتری شوند. در پژوهش حاضر، سخنگویان دوزبانه از تسلط بالایی در هر دو زبان ترکی (زبان اول) و

1. Puberty
2. balanced bilingual
3. Cognitive control
4. Executive functions (EFs)
5. Lerman & Oblor
6. Antón
7. Green
8. Non-target language
9. Target language
10. Matrix language
11. Román and Gómez-Gómez
12. Declerck, Kleinman & Gollan
13. mixed-language blocks

فارسی (زبان دوم) برخوردار بودند و به طور منظم از هر دو زبان استفاده می کردند. آن‌ها غالباً در خانه با زبان ترکی مواجه شده بودند و از حدود ۷ سالگی که وارد دبستان شدند شروع به یادگیری زبان فارسی کردند. به طور خاص، مطالعه این جمعیت بدین دلیل حائز اهمیت است که اگرچه آن‌ها یادگیری زبان دوم را نسبتاً دیر شروع کردند، اما در ادامه به سطح بسیار بالایی از بسندگی رسیدند. زبان‌های ترکی و فارسی مشخصه‌های دستوری مشترکی دارند که عامل مهمی در کنترل پردازش زبان دوم محسوب می شود. در حالت بی نشان هر دو دارای ترتیب واژه زبان فاعل-مفعول-فعل<sup>۱</sup> هستند و از ویژگی‌های نحوی خاصی مانند مطابقت فعلی<sup>۲</sup> پیروی می کنند. بر اساس توصیف نحو مشترک<sup>۳</sup> (هارتسوکر<sup>۴</sup> و همکاران، ۲۰۰۴)، مادامی که بازنمایی‌های نحوی بین زبان‌ها مشابه باشند، دوزبان‌ها بازنمایی‌ها را بین زبان‌ها به اشتراک می گذارند؛ اینک، نگارندگان در تلاشند تا در بازتحلیل<sup>۵</sup> حاضر، عملکرد ناحیه مغزی تالاموس را که در دوزبان‌های متوازن ترکی-فارسی مطالعه میکده و همکاران (۲۰۲۱ الف) شناسایی شده بود، مورد بررسی قرار دهند. بنابراین، با هدف بررسی نقش تالاموس در پردازش زبان اول و دوم با روش fMRI در افراد دوزبان‌های که در ۷ سالگی زبان دوم را به طور رسمی آموخته بودند، به دو پرسش زیر پاسخ داده خواهد شد:

(۱) تا چه میزانی ناحیه تالاموس در پردازش جملات دوزبان‌ها دخالت دارد؟

(۲) چه تفاوتی در کارکرد تالاموس چپ و راست برای پردازش همزمان زبان اول و دوم وجود دارد؟

## ۲. روش پژوهش

در مطالعه حاضر، داده‌های fMRI که توسط میکده و همکارانش (۲۰۲۱ الف) گزارش شده بود، بازتحلیل شد. در پژوهش اصلی فعالیت ناحیه تالاموس در افراد دوزبان‌های شناسایی شد. در مطالعه فعلی، نگارندگان درصددند تا الگوی فعالیت این ناحیه مغزی را برای هر دو زبان اول و دوم بررسی کنند.

## ۲-۱. شرکت‌کنندگان

بر اساس یک فراخوان، دانشجویان واجد شرایط مقطع دکتری دعوت به همکاری در پژوهش کاربردی-بنیادی حاضر شدند. از بین داوطلبان، ۳۶ دانشجوی ترک‌زبان (۲۱ زن و ۱۵ مرد به ترتیب با میانگین سنی و انحراف معیار

1. Subject-object-verb (SOV)
2. Verbal agreement
3. Shared syntax account
4. Hartsuiker
6. Reanalysis

۲۷/۷۱±۳/۵ و ۲۶/۸۷±۲/۹۷، در محدوده سنی ۲۲-۳۴ سال) انتخاب شدند<sup>۱</sup>. همه افراد سالم و طبق گزارش فردی شنوایی طبیعی داشتند. ملاک ورود به مطالعه شامل داشتن والدین ترک‌زبان، متولد و ساکن استان‌های ترک‌زبان ایران تا سن ۷ سالگی، راست‌دستی، عدم ابتلا به بیماری‌های زبانی-روانی، حداقل ۵ سال سکونت در شهرهای فارسی‌زبان و شروع آموزش رسمی زبان فارسی در ۷ سالگی بود. بنا بر اظهارات شخصی، همه شرکت‌کنندگان در زندگی روزمره با زبان ترکی ارتباط برقرار می‌کردند. پس از غربالگری اولیه، افراد ملزم به شرکت در جلسه ارزیابی رفتاری که در گروه زبان‌شناسی دانشگاه تربیت مدرس برگزار شد، بودند. بر اساس آزمون دست‌برتری ادینبورگ<sup>۲</sup> همه افراد راست‌دست بودند. جهت سنجش ظرفیت حافظه فعال، تکلیف فراخوانی خواندن<sup>۳</sup> (خدادادی و همکاران، ۱۳۹۳) برای همه افراد اجرا شد. کسب امتیاز ۵۰ (از ۱۰۰) الزام‌آور بود و همه افراد موفق به کسب امتیاز لازم شدند. خودارزیابی بسندگی در زبان فارسی و ترکی با اختلاف اندک بین درک و تولید زبان (۶ در برابر ۵) عالی بود. مصاحبه‌هایی به زبان فارسی و ترکی توسط یک مصاحبه‌گر زبان‌شناس فارسی‌زبان و یک دانشجوی دکتری ترک‌زبان انجام شد. در بخشی از این مصاحبه، یک آزمون قضاوت دستوری‌بودگی شبیه‌سازی شده از شرکت‌کنندگان اخذ شد. با توجه به ماهیت آزمایش اصلی، این خرده آزمون (شامل ۳۰ آیتم) به صورت شنیداری به زبان ترکی و فارسی ارائه و بر این اساس توانمندی شنیداری و دستوری افراد در هر دوزبان («عالی») تشخیص داده شد. ضمناً، موقعیت اجتماعی-اقتصادی افراد بر اساس شاخص چهار-عاملی جایگاه اجتماعی-اقتصادی<sup>۴</sup> (هالینگزهد<sup>۵</sup>، ۱۹۷۵) بررسی و اختلافی بین شرکت‌کنندگان پژوهش حاضر و گروه کنترل (افراد تک‌زبان فارسی‌زبان با میزان بسندگی زبانی بالا) مشاهده نشد (برای جزئیات بیشتر به میکده و همکاران (۲۰۲۱) ب) و میکده و همکاران (۲۰۲۳) ب) مراجعه شود). ضمناً، میزان تسلط دوزبان‌ها به زبان اول و دوم بر اساس معیار تسلط دوزبان<sup>۶</sup> (دان و فاکس تری<sup>۷</sup>، ۲۰۰۹) ارزیابی و اختلاف معناداری مشاهده نشد. افراد با رضایت کتبی در این آزمایش شرکت و حق‌الزحمه حضور دریافت کردند. پژوهش حاضر مورد تصویب کمیته اخلاق دانشگاه علوم پزشکی ایران (مطابق با اعلامیه هلسینکی) و دارای کد IR.IUMS.REC.1398.465 است.

۱. در مطالعات fMRI، حداقل حجم نمونه برای هر گروه ۱۵ نفر پیشنهاد شده است (فریستین، ۲۰۱۲).

2. *Edinburgh handedness inventory* (EHI)
3. reading span test
4. four factor index of socio-economic status
5. Hollingshead
6. Bilingual Dominance Scale (BDS)
7. Dunn & Fox Tree



## ۲-۲. مواد آزمون

به منظور بررسی پردازش نحوی سخنگویان دوزبانه یک تکلیف قضاوت دستوری بودگی شنیداری<sup>۱</sup> طراحی شد (میکده و همکاران، ۲۰۲۱ الف). محرک‌ها شامل ۶۴ جمله فارسی و ۶۴ جمله ترکی با ساختار فاعل + مفعول + فعل بود که نیمی از محرک‌ها در هر زبان به لحاظ نحوی درست و سایر محرک‌ها دارای نقض مطابقت فاعل-فاعل بودند. همه محرک‌ها به لحاظ معنایی درست بودند و محرک‌های به لحاظ نحوی درست و نادرست، از یکدیگر مشتق نشدند؛ بنابراین، هر محرک چه درست و چه نادرست فقط یکبار ارائه شد. زمان گذشته ساده افعال (بدون هیچ فعل کمکی) استفاده شد. در محرک‌های درست، فاعل اول و سوم شخص مفرد با افعال اول و سوم شخص مفرد و فاعل اول و سوم شخص جمع با افعال اول و سوم شخص جمع همراه بودند. در مقابل، در شرایط نقض مشخصه‌های شخص و شمار، فاعل اول و سوم شخص مفرد با افعال اول و سوم شخص جمع و فاعل اول و سوم شخص جمع با افعال اول و سوم شخص مفرد همراه بودند<sup>۲</sup>. جملات توسط یک خانم با ریتم طبیعی قرائت و در استودیوی صدابرداری با فرمت WAV ذخیره شد (نرخ نمونه‌برداری ۱۶ بیت، ۴۴ کیلوهرتز). روایی محتوایی تکلیف قضاوت دستوری بودگی به تأیید متخصصین حوزه‌ی نحو رسید و میزان اعتبار آن با استفاده از آزمون آلفای کرونباخ<sup>۳</sup> ۰/۹۳۳ به دست آمد.

## ۲-۳. نحوه اجرای آزمون

پس از دریافت آموزش‌های لازم در زمینه نحوه اجرای تکلیف، شرکت‌کنندگان بر اساس دستوری/نادستوری بودگی جملات پاسخ خود را ثبت کردند. محرک‌های شنیداری طراحی شده توسط نرم‌افزار سایکوپای<sup>۴</sup>، از طریق هدفون ارائه شد. الگوی تحریک وابسته به رویداد<sup>۵</sup>، شامل ۴ بلوک<sup>۶</sup> جملات شنیداری، ۴ بازه استراحت<sup>۷</sup> بود و پارادایم زبان‌گردانی جایگزین<sup>۸</sup> نیز به کار گرفته شد. هر بلوک متشکل از ۳۲ بخش<sup>۹</sup> است که برای ثبت پاسخ همودینامیکی<sup>۱۰</sup>

## 1. Auditory grammaticality judgment task

۲. فهرست کامل محرک‌ها در مقاله میکده و همکاران (۲۰۲۳ الف) ارائه شده است.

3. cronbach's alpha

4. PsychoPy

5. Event-related design

6. block

7. Resting period

8. alternating language switching paradigm

9. run

10. Hemodynamic baseline

جدول ۱- مثال‌هایی از مواد آزمون در زبان ترکی و فارسی با حرف‌نویسی و ترجمه انگلیسی

(اقتباس از میکده و همکاران، ۲۰۲۱ الف)

زبان اول	زبان دوم
<p><i>نقض مطابقت دستوری</i></p> <p>*بیز 1.pl کیتاب‌لاریمیزی گتیردیم 1.sg.</p> <p>*Biz kitâb-lar-i-mizi gatirdim.</p> <p>We book-PL-HI-OBJ-CLT.Def bring-PAST-1SG</p> <p>(We brought our books)</p>	<p>*ما 1.pl بدهکاری‌مان را پرداختیم 1.sg.</p> <p>*Ma<sub>1.pl</sub> bedehkari-ye-mân râ pardâxtam<sub>1.sg</sub>.</p> <p>We debt-HI-OBJ-CLT.Def pay.PAST-1SG</p> <p>(We paid our debts.)</p>
<p><i>مطابقت دستوری</i></p> <p>من 1.sg پالتارمی یودوم 1.sg.</p> <p>Man<sub>1.sg</sub> pâltâr-e-mi yudum<sub>1.sg</sub>.</p> <p>I cloth-HI-OBJ-CLT.Def wash.PAST-1SG</p> <p>(I washed my cloth.)</p>	<p>من 1.sg نظرش را پذیرفتم 1.sg.</p> <p>Man<sub>1.sg</sub> nazar-aş râ paziroftam<sub>1.sg</sub>.</p> <p>I offer-OBJ-CLT.Def accept.PAST-1SG</p> <p>(I accepted her/his offer.)</p>

\* جملات غیردستوری. زیر هجای هدف خط کشیده شده است.

نیز بازه‌های زمانی استراحت ۳۰ ثانیه‌ای در قبل و بعد از آن تعبیه شد که طی آن هیچ تحریکی ارائه نشد. مدت زمان هر بلوک ۳۱۸ ثانیه بود. هر بخش شامل یک بوق هشدار ۱ ثانیه‌ای، یک جمله ۳ ثانیه‌ای و مرحله پاسخ ۴، ۵ یا ۶ ثانیه‌ای بود. به علت ماهیت شنیداری تکلیف شناختی، یک علامت به علاوه (+) در وسط صفحه نمایش در کل زمان اجرای تکلیف<sup>۱</sup> نمایش داده شد. در هر بلوک، جملات دو زبان به‌طور پیوسته تغییر می‌کردند (به‌طور مثال، زبان اول، زبان دوم، زبان اول، زبان دوم و ...). محرک‌های دستوری/نادستوری هر زبان، در هر بلوک به‌طور تصادفی توزیع و به‌طور یکسان برای همه شرکت‌کننده‌ها اجرا شد. مزیت پارادایم زبان‌گردانی جایگزین بر دیگر پارادایم‌ها از جمله پارادایم زبان‌گردانی توالی-محور<sup>۲</sup> این است که شرایط برنامه‌ریزی زبانی را برای زبان بعدی فراهم می‌کند به‌گونه‌ای

1. Task

2. Sequence-based language switching paradigm

که وضعیت پیش برنامه‌ریزی را در طول پردازش زبان طبیعی تداعی می‌کند (دکلرک و فیلیپ<sup>۱</sup>، ۲۰۱۵). لذا، بر مبنای توالی قابل‌پیش‌بینی، شرکت‌کننده می‌تواند برای زبان بعدی خود را آماده کند. در دنیای واقعی، سخنگویان دوزبانه قادرند تا هر یک از زبان‌هایشان را به‌طور مناسب استفاده کنند و به‌سرعت زبان‌گردانی بین دوزبان را انجام دهند. برای هر شرکت‌کننده، مدت‌زمان اجرای آزمون fMRI به انضمام مرحله آماده‌سازی تقریباً ۳۵ دقیقه به طول انجامید.

#### جدول ۲- پروتکل‌های تصویربرداری ساختاری و عملکردی

نام پروتکل	T1-weighted MP-RAGE (ساختاری)	T2-weighted EPI-BOLD (عملکردی)
اندازه وکسل <sup>۲</sup> (mm <sup>3</sup> )	۱ × ۱ × ۱	۳ × ۳ × ۳
اندازه ماتریس <sup>۳</sup> (mm <sup>2</sup> )	۲۵۶	۶۴
زمان اکو <sup>۴</sup> (TE) (ms)	۳/۵۳	۳۰
زمان تکرار <sup>۵</sup> (TR) (ms)	۱۸۰۰	۳۰۰۰
ضخامت اسلایس <sup>۶</sup> (mm)	۱	۳
میدان دید <sup>۷</sup> (FOV) (mm <sup>2</sup> )	۲۵۶	۱۹۲
زاویه چرخش <sup>۸</sup> α (deg)	۷°	۹۰°

#### ۲-۴. پروتکل تصویربرداری

تصاویر fMRI توسط اسکنر MRI سه‌تسلای زمینس مدل پریماس<sup>۹</sup> با کویل سر ۲۰ کاناله<sup>۱۰</sup> در آزمایشگاه ملی نقشه‌برداری مغز ثبت شد. تصویربرداری ساختاری رزولوشن بالا و عملکردی حالت استراحت از مغز هر فرد در یک جلسه انجام شد. پروتکل‌ها و پارامترهای مورداستفاده در جدول ۲ ارائه شد. تصاویر ساختاری با استفاده از توالی

1. Declerck & Philipp
2. voxel size
3. matrix size
4. echo time
5. repetition time
6. slice thickness
7. field of view
8. flip angle
9. 3.0 Tesla Siemens Prisma MRI Scanner
10. 20-channel head coil

سه‌بعدی اکوگرادیانت سریع مغناطش آماده‌شده<sup>۱</sup> و تصاویر عملکردی به‌صورت تصویربرداری اکو صفحه‌ای<sup>۲</sup> گرفته شد. زمان تصویربرداری عملکردی ۱۲۹۰ ثانیه به طول انجامید. تعداد کل والیوم‌ها<sup>۳</sup> ۴۳۰ عدد و هر والیوم نیز حاوی ۴۵ اسلایس بود.

## ۵-۲. پیش‌پردازش تصاویر

پیش‌پردازش تصاویر با استفاده از ابزارهای موجود در نرم‌افزار FSL مدل ۶/۰۰ مجموعه<sup>۴</sup> FMRIB<sup>۴</sup> به شرح زیر انجام شد: (۱) حذف حجمه و استخراج قشر مغز، (۲) انطباق<sup>۵</sup> داده ساختاری T1-MPRAGE بر روی اطلس MNI و سپس انطباق داده‌های عملکردی بر آن، (۳) تصحیح حرکت سر<sup>۶</sup>، (۴) تصحیح زمان‌بندی برش‌ها<sup>۷</sup> با استفاده از درون‌یابی فوریه<sup>۸</sup>، (۵) نرم کردن مکانی<sup>۹</sup> توسط فیلتر کرنل گوسی<sup>۱۰</sup> با FWHM برابر با ۶ میلی‌متر، (۶) نرمال کردن<sup>۱۱</sup> دامنه همه والیوم‌ها در هر نقطه زمانی بر پایه شدت میانگین، (۷) فیلتر کردن زمانی<sup>۱۲</sup> توسط فیلتر بالاگذر گوسی<sup>۱۳</sup> با سیگمای<sup>۱۴</sup> ۵۰ ثانیه، (۸) حذف مؤلفه‌های نویز<sup>۱۵</sup> از تصاویر پیش‌پردازش شده با استفاده از روش تحلیل مؤلفه‌های مستقل<sup>۱۶</sup>. نهایتاً، از مدل خطی عمومی<sup>۱۷</sup>، جهت آنالیز سطح اول (اجرای فردی) و دوم (اجرای گروهی) استفاده شد. با استفاده از مدل تأثیر آمیخته<sup>۱۸</sup>، آنالیزهای بین‌گروهی<sup>۱۹</sup> انجام و وکسل‌هایی با Z-stat بالای ۳/۱ و سطح معناداری کمتر از  $p < ۰/۰۵$  به‌صورت وکسل فعال تشخیص داده شد. فقط جملاتی که به آن‌ها

1. three-dimension magnetization-prepared rapid gradient-echo (MP-RAGE) sequence
2. echo planner imaging (EPI)
3. volume
4. www.fmrib.ox.ac.uk/fsl
5. mapping
6. Head Motion Correction
7. Slice Timing Correction
8. fourier interpolation
9. Spatial Smoothing
10. gaussian kernel
11. Normalization
12. Temporal Filtering
13. gaussian high pass filter
14. sigma
15. noise
16. independent component analysis (ICA)
17. Generalized Linear Model (GLM)
18. Mixed effects
19. between-subjects

پاسخ درست داده شده بود، در چرخه آنالیز قرار گرفتند.

## ۲-۶. روش تحلیل آماری

پیرو شناسایی فعالیت ناحیه تالاموس در رویکرد کل-مغز (میکده و همکاران، ۲۰۲۱ الف)، به منظور تعیین نقش ناحیه تالاموس در پردازش همزمان زبان‌های اول و دوم در افراد دوزبانه، تحلیلی با رویکرد ناحیه مورد نظر<sup>۲</sup> بر اساس مطالعات پیشین (میکده، زومر و بتولی، ۱۴۰۲؛ میکده، زومر و بتولی، ۱۴۰۳) اجرا شد تا الگوی فعالیت محرک‌ها در این ناحیه مغزی آشکار گردد (پلدراک<sup>۳</sup>، ۲۰۰۷). بدین ترتیب، درصد تغییر سیگنال<sup>۴</sup> به عنوان معیار «شدت»<sup>۵</sup> برای هر شرکت‌کننده در ناحیه تالاموس مطابق با اطلس هاروارد-آکسفورد<sup>۶</sup> در FSL محاسبه شد. شدت سیگنال به عنوان متغیر وابسته و دستوری بودگی، زبان، نیمکره و جنسیت به عنوان متغیرهای مستقل در نظر گرفته شدند. آنالیز آماری با استفاده از نرم‌افزار SPSS نسخه ۲۶ انجام شد. تغییرات شدت سیگنال از طریق آزمون استنباطی تحلیل واریانس<sup>۷</sup> با اندازه‌گیری‌های مکرر<sup>۸</sup>  $2 \times 2 \times 2 \times 2 \times 2$  دستوری بودگی (دستوری، نادرستی)  $\times$  زبان (زبان اول = ترکی، زبان دوم = فارسی) (نیمکره (چپ، راست)  $\times$  (جنسیت (زن، مرد)) بررسی شد.

## ۳. نتایج

### ۳-۱. نتایج رفتاری

نتایج رفتاری شرکت‌کنندگان شامل زمان واکنش به محرک‌ها و نرخ پاسخ صحیح در مطالعه اصلی (میکده و همکاران، ۲۰۲۱ الف) در دسترس است.

### ۳-۲. نتایج ناحیه تالاموس

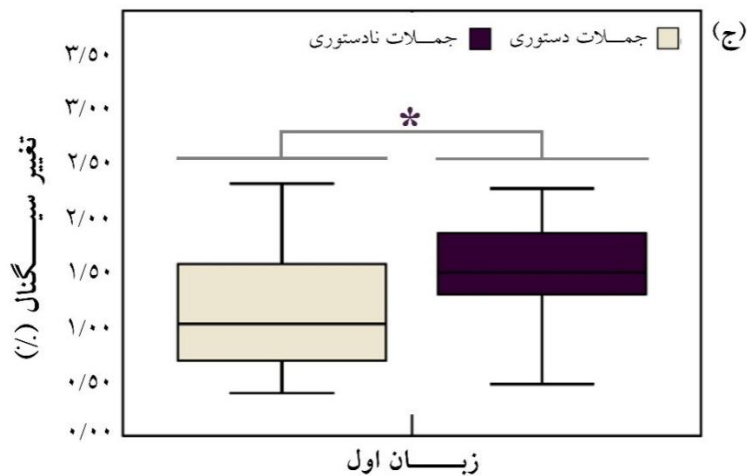
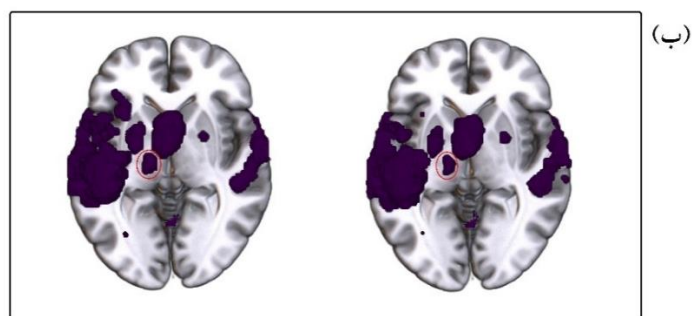
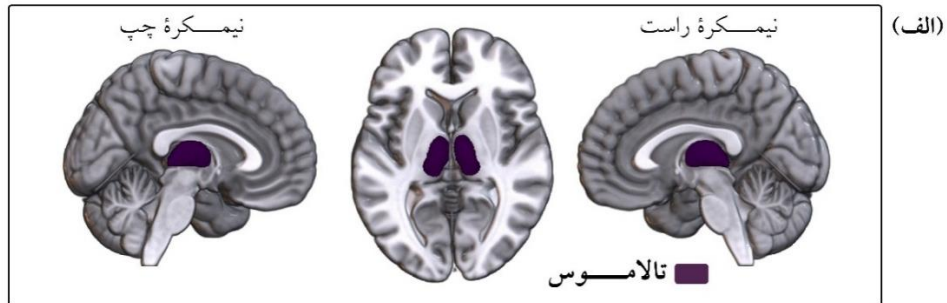
موقعیت ناحیه تالاموس در شکل ۱ الف نمایش داده شد. در ناحیه تالاموس، نتایج تحلیل واریانس (جدول ۳) نشان از معناداری عامل اصلی دستوری بودگی دارد. مشخصاً، شدت درصد تغییر سیگنال در جملات نادرستی (۱/۲۵۳)

1. whole-brain
2. region-of-interest analysis (ROI)
3. Poldrack
4. Percent Signal Change (PSC)
5. Intensity
6. Harvard-Oxford Atlas
7. analysis of variance
8. repeated measures

به نسبت جملات دستوری (۱/۱۳۶) بیشتر بود. همچنین، عامل اصلی زبان با شدت درصد تغییر سیگنال بیشتر در زبان اول (۱/۲۵۶) به نسبت زبان دوم (۱/۱۳۲) به سطح معناداری رسید.

اثر تعاملی دستوری بودگی × زبان نیز معنادار بود. با در نظر گرفتن عامل دستوری بودگی، مشاهده شد که در زبان اول درصد تغییر سیگنال جملات نادرستی (۱/۳۶۳) در مقایسه با جملات دستوری (۱/۱۵۰) بیشتر بود (۰/۰۰۲).  
 $p = ۳/۳۳۸$ ،  $t_{(۳۵)} =$  اما در زبان دوم اختلاف معناداری بین درصد تغییر سیگنال جملات نادرستی (۱/۱۴۳) و دستوری (۱/۱۲۲) مشاهده نشد ( $p = ۰/۶۹۴$ ،  $t_{(۳۵)} = ۰/۳۹۶$ ). با در نظر گرفتن عامل زبان، مشاهده شد که در جملات نادرستی درصد تغییر سیگنال در زبان اول (۱/۳۶۳) در مقایسه با زبان دوم (۱/۱۴۳) بیشتر بود (۰/۰۰۲) =  $p = ۳/۲۷۴$ ،  $t_{(۳۵)} =$  اما در جملات دستوری هیچ تفاوتی بین درصد تغییر سیگنال زبان اول (۱/۱۵۰) و دوم (۱/۱۲۲) مشاهده نشد ( $p = ۰/۶۲۷$ ،  $t_{(۳۵)} = ۰/۴۹۰$ ).

اثر تعاملی زبان × نیمکره هم به سطح معناداری رسید. با در نظر گرفتن عامل زبان، مشاهده شد که در نیمکره چپ درصد تغییر سیگنال جملات زبان اول (۱/۳۴۱) در مقایسه با زبان دوم (۱/۱۱۲) بیشتر بود ( $p = ۰/۰۰۱$ ،  $p = ۳/۷۷۹$ ،  $t_{(۳۵)} =$  اما در نیمکره راست اختلاف معناداری بین درصد تغییر سیگنال جملات زبان اول (۱/۱۷۱) و دوم (۱/۱۵۳) مشاهده نشد ( $p = ۰/۷۳۵$ ،  $t_{(۳۵)} = ۰/۳۴۱$ ). با در نظر گرفتن عامل نیمکره، مشاهده شد که در زبان اول درصد تغییر سیگنال در نیمکره چپ (۱/۳۴۱) در مقایسه با نیمکره راست (۱/۱۷۱) بیشتر بود ( $p = ۰/۰۴۲$ ،  $t_{(۳۵)} = ۲/۱۱۵$ ، اما در زبان دوم اختلاف معناداری بین درصد تغییر سیگنال در نیمکره چپ (۱/۱۱۲) در مقایسه با نیمکره راست (۱/۱۵۳) دیده نشد ( $p = ۰/۵۵۰$ ،  $t_{(۳۵)} = -۰/۶۰۳$ ).



شکل ۱- (الف) موقعیت ناحیه تالاموس؛ (به ترتیب از راست) نمای ساجیتال<sup>۱</sup> راست، آکسیال<sup>۲</sup> و ساجیتال چپ. (ب) فعالیت مغز-کل (بنفش) در جملات دستوری (تصویر سمت راست) و نادرستی (تصویر سمت چپ) زبان اول برای ناحیه تالاموس چپ نسبت به خط مبدأ. دایره قرمز رنگ مکان فعالیت هر محرک را نشان می دهد. (ج) نمودارهای جعبه‌ای درصد تغییر سیگنال برای اثر دستوری بودگی در تالاموس چپ برای زبان اول؛ علامت ستاره نشانه معناداری است.

1. Sagittal
2. Axial

## جدول ۳- نتایج آزمون تحلیل واریانس ۴-راهه در ناحیه تالاموس

منبع تغییرات	آماره F	درجه آزادی	معناداری	مجذوراتا
دستوری‌بودگی	۶/۱۲۷	۱	۰/۰۱۸	۰/۱۵۳
دستوری‌بودگی × جنسیت	۰/۵۵۹	۱	۰/۴۶۰	۰/۰۱۶
زبان	۶/۴۵۵	۱	۰/۰۱۶	۰/۱۶۰
زبان × جنسیت	۰/۰۵۲	۱	۰/۸۲۰	۰/۰۰۲
نیمکره	۰/۶۳۶	۱	۰/۴۳۱	۰/۰۱۸
نیمکره × جنسیت	۰/۵۶۹	۱	۰/۴۵۶	۰/۰۱۶
دستوری‌بودگی × زبان	۴/۹۹۷	۱	۰/۰۳۲	۰/۱۲۸
دستوری‌بودگی × زبان × جنسیت	۲/۳۷۶	۱	۰/۱۳۲	۰/۰۶۵
دستوری‌بودگی × نیمکره	۲/۱۹۴	۱	۰/۱۴۸	۰/۰۶۱
دستوری‌بودگی × نیمکره × جنسیت	۱/۰۷۳	۱	۰/۳۰۸	۰/۰۳۱
زبان × نیمکره	۱۳/۲۰۸	۱	۰/۰۰۱	۰/۲۸۰
زبان × نیمکره × جنسیت	۱/۴۵۱	۱	۰/۲۳۷	۰/۰۴۱
دستوری‌بودگی × زبان × نیمکره	۱۲/۴۷۷	۱	۰/۰۰۱	۰/۲۶۸
دستوری‌بودگی × زبان × نیمکره × جنسیت	۰/۲۲۶	۱	۰/۶۳۷	۰/۰۰۷

افزون بر این، تعامل سه عامل دستوری‌بودگی × زبان × نیمکره معنادار بود. با در نظر گرفتن عامل دستوری‌بودگی، در نیمکره چپ درصد تغییر سیگنال جملات نادرستی زبان اول (۱/۵۱۰) در مقایسه با جملات دستوری زبان اول (۱/۱۷۲) بیشتر بود ( $p = ۰/۰۰۱$ ،  $t_{(۳۵)} = ۳/۷۰۵$ )، اما هیچ اختلاف معناداری بین درصد تغییر سیگنال جملات نادرستی زبان دوم (۱/۱۰۳) در مقایسه با جملات دستوری زبان دوم (۱/۱۲۱) بیشتر بود ( $p = ۰/۷۶۹$ ،  $t_{(۳۵)} = -۰/۲۹۷$ ). در نیمکره راست نه تنها درصد تغییر سیگنال جملات نادرستی زبان اول (۱/۲۱۶) در مقایسه با جملات دستوری زبان اول (۱/۱۲۷) متفاوت نبود ( $p = ۰/۱۲۹$ ،  $t_{(۳۵)} = ۱/۵۵۶$ )، بلکه، تفاوت معناداری بین درصد تغییر سیگنال جملات نادرستی زبان دوم (۱/۱۸۳) در مقایسه با جملات دستوری زبان دوم (۱/۱۲۳) مشاهده نشد ( $p = ۰/۲۸۸$ ،  $t_{(۳۵)} = ۱/۰۸۰$ ). با در نظر گرفتن عامل زبان، مشاهده شد که نه تنها در جملات دستوری نیمکره چپ اختلافی در درصد تغییر سیگنال زبان اول (۱/۱۷۲) در مقایسه با زبان دوم (۱/۱۲۱) مشاهده نشد ( $p = ۰/۳۶۸$ ،



۰/۹۱۲ =  $t_{(۳۵)}$ ، بلکه، در جملات دستوری نیمکره راست هم هیچ تفاوتی در درصد تغییر سیگنال زبان اول (۱/۱۲۷) در مقایسه با زبان دوم (۱/۱۲۳) دیده نشد ( $t_{(۳۵)} = ۰/۹۵۲$ ،  $p = ۰/۰۶۱$ ). از سوی دیگر، در جملات نادرستی نیمکره چپ درصد تغییر سیگنال در زبان اول (۱/۵۱۰) در مقایسه با زبان دوم (۱/۱۰۳) بیشتر بود ( $p < ۰/۰۰۱$ ،  $p = ۴/۳۳۰$  =  $t_{(۳۵)}$ )؛ اما در جملات نادرستی نیمکره راست هیچ اختلافی در درصد تغییر سیگنال زبان اول (۱/۲۱۶) در مقایسه با زبان دوم (۱/۱۸۳) دیده نشد ( $t_{(۳۵)} = ۰/۴۵۳$ ،  $p = ۰/۶۵۳$ ). با در نظر گرفتن عامل نیمکره مشاهده شد که نه تنها در جملات دستوری زبان اول هیچ اختلافی بین درصد تغییر سیگنال در نیمکره چپ (۱/۱۷۲) در مقایسه با نیمکره راست (۱/۱۲۷) دیده نشد ( $t_{(۳۵)} = ۰/۵۹۵$ ،  $p = ۰/۵۵۶$ )، بلکه در زبان دوم هم اختلافی در درصد تغییر سیگنال نیمکره چپ (۱/۱۲۱) در مقایسه با نیمکره راست (۱/۱۲۳) یافت نشد ( $t_{(۳۵)} = -۰/۰۲۸$ ،  $p = ۰/۹۷۸$ ). از سوی دیگر، در جملات نادرستی زبان اول درصد تغییر سیگنال در نیمکره چپ (۱/۵۱۰) در مقایسه با نیمکره راست (۱/۲۱۶) بیشتر بود ( $t_{(۳۵)} = ۲/۸۶۵$ ،  $p = ۰/۰۰۷$ )؛ اما در جملات نادرستی زبان دوم اختلافی در درصد تغییر سیگنال نیمکره چپ (۱/۱۶۳) در مقایسه با نیمکره راست (۱/۱۸۳) دیده نشد ( $t_{(۳۵)} = -۱/۲۳۴$ ،  $p = ۰/۲۲۵$ ). تنها اثر معنادار دستوری بودگی در قالب نمودار جعبه‌ای در شکل ۱ ج به تصویر کشیده شد. همان‌گونه که جدول ۳ نشان می‌دهد، تعامل جنسیت با سایر عوامل معنادار نبود.

#### ۴. بحث و نتیجه‌گیری

در پژوهش حاضر، عملکرد ناحیه تالاموس دوجانبه در پردازش همزمان زبان اول و دوم در دوزبان‌های متوازن ترکی (زبان اول)-فارسی (زبان دوم) با سن یادگیری ۷ سالگی در بدو ورود به مدرسه بررسی شد. محرک‌های دستوری/نادرستی به صورت تصادفی و محرک‌های زبان اول/دوم به صورت متوالی توزیع شدند که مستلزم مشارکت/عدم مشارکت متناوب بین زبان‌هاست. به دنبال شناسایی حساسیت ناحیه تالاموس چپ به محرک‌های دستوری و نادرستی زبان اول در دوزبان‌های ترکی-فارسی در سطح کل-مغز (میکده و همکاران، ۲۰۲۱ الف)، یک آنالیز مبتنی بر ROI در پژوهش حاضر اجرا و اثر دستوری بودگی در تالاموس چپ برای زبان اول تأیید شد. نتایج حاصل از آنالیز مبتنی بر ROI حاکی از این است که در پژوهش حاضر دوزبان‌ها در حین زبان‌گردانی زبان

۱. مسئله جنسیت جزء موضوعات کلیدی مقاله حاضر نیست؛ اما با توجه به ناترازی تعداد شرکت‌کنندگان مرد و زن، نویسندگان مقاله علاقمند بودند با داده‌های آماری به خواننده کنجکاو القا کنند که نتایج فعلی متأثر از پارامتر جنسیت نبوده است.

ترکی را به‌عنوان زبان پایه و زبان فارسی را به‌عنوان زبان مهمان<sup>۱</sup> انتخاب کرده‌اند که در راستای فرضیه آستانه فعالیت (پردیس، ۱۹۹۳ و ۲۰۰۱) است. بر این اساس، هر دو زبان اول و دوم فعال هستند، اما زبان پایه، فعالیت قوی‌تری دارد (گرین، ۱۹۹۸) که منجر به اثرات تغییر نامتقارن<sup>۲</sup> می‌شود (ژیو و همکاران، ۲۰۲۰)؛ زیرا وقتی زبان‌گردانی به‌سمت محرک‌های زبان اول انجام می‌شود، مهار زبان اول که در طول پردازش جملات زبان دوم اتفاق افتاده بود باید غلبه شود که خود منجر به فعالیت بیشتر نواحی درگیر فرایند مهار می‌شود.

نتایج فوق در راستای یافته‌های رفتاری شرکت‌کنندگان است که زمان واکنش کمتری را برای زبان دوم نسبت به زبان اول نشان می‌دهد. در مقابل، تغییر در جهت زبان غالب (زبان اول)، مستلزم زمان بیشتری است تا به مهار قبلی که به این زبان اعمال شده است، غلبه گردد. به‌عبارتی دیگر، به این دلیل که زبان دوم زبان ضعیف‌تری محسوب می‌شود کنترل شناختی مضاعفی لازم است تا زبان اول را پس از تولید زبان دوم بازفعال کند (ژیو و همکاران، ۲۰۲۰)؛ بنابراین، فعالیت تالاموس برای زبان اول بر نقش حیاتی این ناحیه مغزی در کنترل رفتاری و شناختی صحه می‌گذارد که در راستای مطالعات پیشین است (هوسودا<sup>۳</sup> و همکاران، ۲۰۱۳؛ برکن، گرادو و کلاین<sup>۴</sup>، ۲۰۱۷؛ پلیاستیکاس<sup>۵</sup> و همکاران، ۲۰۱۷؛ دلوکا<sup>۶</sup> و همکاران، ۲۰۱۹؛ گلو<sup>۷</sup> و همکاران، ۲۰۲۱). با توجه به اینکه در مطالعه پیشین نویسندگان حاضر (میکده، زومر و بتولی، در دست انتشار)، حساسیت هسته کودیت نیز به زبان اول مشاهده شد، به نظر می‌رسد این دو ناحیه مغزی (تالاموس و هسته کودیت) نقش ویژه‌ای در فرایندهای زبان‌گردانی، کنترل شناختی و انتخاب زبان ایفا می‌کنند. همان‌طور که در بخش مقدمه مطرح شد، اختلافات روش شناختی قابل‌توجهی که مطالعه حاضر را از اثر وارتنبرگر و همکارانش (۲۰۰۳) - به‌عنوان تنها اثر موجود در زمینه پردازش دستوری در افراد دوزبانه - متمایز می‌کند، امکان مقایسه بین این دو اثر را بسیار کم‌رنگ می‌کند و گویای این است که پردازش زبان در یک مغز واحد دوزبانه مستلزم انجام مطالعات عمیق‌تری است.

لازم به ذکر است که فعالیت تالاموس در مطالعه حاضر محدود به نیمکره چپ مغز بود؛ بنابراین با توجه به فعالیت غالب نیمکره چپ در پردازش نحوی دوزبانه‌های ترکی-فارسی (میکده و همکاران، ۲۰۲۱ الف)، می‌توان

1. Guest language
2. Asymmetrical switch effects
3. Hosoda
4. Berken, Gracco, Klein
5. Pliatsikas
6. DeLuca
7. Gallo

استنباط کرد که این تالاموس چپ است که نقش انتقال‌دهنده اطلاعات از مسیر تالاموکورتیکال به نواحی قشری را انجام می‌دهد.

### تشکر و قدردانی

این پژوهش برگرفته از رساله دکتری نویسنده اول این مقاله است که با حمایت مالی ستاد توسعه علوم و فناوری‌های شناختی به شماره ۷۴۰۱ انجام شده است. ضمناً، این پروژه از حمایت مالی وزارت علوم، تحقیقات و فناوری ایران نیز جهت تکمیل اهداف پروژه در دانشگاه هومبولت برلین ۱ (آلمان) تحت راهنمایی نویسنده دوم این مقاله برخوردار بوده است؛ از همکاری آن سازمان متبوع قدردانی می‌گردد.

## کتابنامه

- پورمحمد، مهدی. (۱۳۹۳). روان‌شناسی زبان. تهران: سمت.
- خدادادی، مجتبی؛ اسدزاده، حسن؛ کلاتر قریشی، منیر؛ امانی، حسین. (۱۳۹۳). نرم‌افزار حافظه کاری دانیمن و کارپتر. تهران: موسسه تحقیقات علوم رفتاری - شناختی سینا.
- میکده، سیمین. (۱۴۰۰). بررسی اثرات بسندگی زبان و سن یادگیری زبان دوم بر دستگاه عصبی برای پردازش صرفی-نحوی با استفاده از ERPs و fMRI. رساله دکتری، دانشگاه تربیت مدرس.
- میکده، سیمین و زومر، ورنر. (در دست انتشار/الف). عدم تفاوت‌های جنسیتی در پردازش مشخصه‌های فای در افراد دوزبانه متوازن: مطالعه‌ای بر پایه تصویربرداری تشدید مغناطیسی عملکردی (fMRI). پژوهش‌های زبان‌شناسی تطبیقی.
- میکده، سیمین، زومر، ورنر؛ بتولی، سید امیر حسین. (۱۴۰۲). مخچه و مطابقت دستوری در دوزبانه‌ها: شواهدی از قضاوت دستوری‌بودگی با استفاده از fMRI. علم زبان.
- میکده، سیمین؛ زومر، ورنر؛ بتولی، سید امیر حسین. (۱۴۰۳). پوتامن و درک جمالت زبان اول و دوم: شواهدی از تصویربرداری تشدید مغناطیسی عملکردی. نشریه پژوهش‌های زبان‌شناسی. ۹۵-۱۱۰. (۱)۱۶.
- میکده، سیمین؛ زومر، ورنر؛ بتولی، سید امیر حسین. (در دست انتشار). فعالیت نوروئی هسته کودیت چپ در حین زبان‌گردانی: شواهد fMRI از دوزبانه‌های ترکی-فارسی. پژوهش‌های نوین روانشناسی.
- Antón, E., Carreiras, M., & Duñabeitia, J. A. (2019). The impact of bilingualism on executive functions and working memory in young adults. *PloS one*, 14(2), 1-30. <https://doi.org/10.1371/journal.pone.0206770>
- Berken, J. A., Gracco, V. L., & Klein, D. (2017). Early bilingualism, language attainment, and brain development. *Neuropsychologia*, 98, 220-227. <https://doi.org/10.1016/j.neuropsychologia.2016.08.031>
- Bogousslavsky, J., Regli, F., & Uske, A. (1988). Thalamic infarcts: clinical syndromes, etiology, and prognosis. *Neurology*, 38(6), 837-848. <https://doi.org/10.1212/wnl.38.6.837>
- Burgaleta, M., Sanjuán, A., Ventura-Campos, N., Sebastian-Galles, N., & Ávila, C. (2016). Bilingualism at the core of the brain. Structural differences between bilinguals and monolinguals revealed by subcortical shape analysis. *NeuroImage*, 125, 437-445. <https://doi.org/10.1016/j.neuroimage.2015.09.073>
- Declerck, M., & Philipp, A. M. (2015). A review of control processes and their locus in language switching. *Psychonomic bulletin & review*, 22(6), 1630-1645. <https://doi.org/10.3758/s13423-015-0836-1>

- DeLuca, V., Rothman, J., Bialystok, E., & Pliatsikas, C. (2019). Redefining bilingualism as a spectrum of experiences that differentially affects brain structure and function. *Proceedings of the National Academy of Sciences of the United States of America*, 116(15), 7565–7574. <https://doi.org/10.1073/pnas.1811513116>
- Dunn, A. L., & Fox Tree, J. E. (2009). A quick, gradient Bilingual Dominance Scale. *Bilingualism: Language and Cognition*, 12(3), 273-289. <https://doi.org/10.1017/S1366728909990113>
- Fedeli, D., Del Maschio, N., Sulpizio, S., Rothman, J., & Abutalebi, J. (2021). The bilingual structural connectome: Dual-language experiential factors modulate distinct cerebral networks. *Brain and language*, 220, 1-13. <https://doi.org/10.1016/j.bandl.2021.104978>
- Fimm, B., Zahn, R., Mull, M., Kemeny, S., Buchwald, F., Block, F., & Schwarz, M. (2001). Asymmetries of visual attention after circumscribed subcortical vascular lesions. *Journal of neurology, neurosurgery, and psychiatry*, 71(5), 652–657. <https://doi.org/10.1136/jnnp.71.5.652>
- Friston K. (2012). Ten ironic rules for non-statistical reviewers. *NeuroImage*, 61(4), 1300-1310. <https://doi.org/10.1016/j.neuroimage.2012.04.018>
- Gallo, F., Novitskiy, N., Myachykov, A. & Shtyrov, Y. (2021). Individual differences in bilingual experience modulate executive control network and performance: Behavioral and structural neuroimaging evidence. *Bilingualism: Language and Cognition*, 24(2), 293-304. DOI: <https://doi.org/10.1017/S1366728920000486>
- Hartsuiker, R. J., Pickering, M. J., & Veltkamp, E. (2004). Is syntax separate or shared between languages? Cross-linguistic syntactic priming in Spanish-English bilinguals. *Psychological science*, 15(6), 409-414. <https://doi.org/10.1111/j.0956-7976.2004.00693.x>
- Hollingshead, A. (1975). *Four Factor Index of Social Status*. Unpublished Manuscript. New Haven, CT: Yale University Department of Sociology.
- Hosoda, C., Tanaka, K., Nariai, T., Honda, M., & Hanakawa, T. (2013). Dynamic neural network reorganization associated with second language vocabulary acquisition: a multimodal imaging study. *The Journal of neuroscience*, 33(34), 13663-13672. <https://doi.org/10.1523/JNEUROSCI.0410-13.2013>
- Korenar, M., Treffers-Daller, J., & Pliatsikas, C. (2023). Dynamic effects of bilingualism on brain structure map onto general principles of experience-based neuroplasticity. *Scientific reports*, 13(1), 3428. <https://doi.org/10.1038/s41598-023-30326-3>
- Lerman, A., & Obler, L. K. (2017). Aging in bilinguals: Normal and abnormal. In A. Ardila, A. B. Cieslicka, R. R. Heredia & M. Rosselli (Eds.), *Handbook of Psychology of Bilingualism: The Cognitive and Emotional World of Bilinguals*. (Vol. 5) (pp. 189-210). Switzerland. Springer International Publishing, [https://doi.org/10.1007/978-3-319-64099-0\\_8](https://doi.org/10.1007/978-3-319-64099-0_8)
- Liebermann, D., Ploner, C. J., Kraft, A., Kopp, U. A., & Ostendorf, F. (2013). A dysexecutive syndrome of the medial thalamus. *Cortex*, 49(1), 40-49. <https://doi.org/10.1016/j.cortex.2011.11.005>
- Mechelli, A., Crinion, J. T., Noppeney, U., O'Doherty, J., Ashburner, J., Frackowiak, R. S., & Price,

- C. J. (2004). Neurolinguistics: structural plasticity in the bilingual brain. *Nature*, 431, 757. <https://doi.org/10.1038/431757a>
- Meykadeh, S. (2021). An investigation of the effects of language proficiency and age of acquisition on neural organization for morphosyntactic processing using ERPs and fMRI [Doctoral dissertation, Tarbiat Modares University [In Persian]].
- Meykadeh, A., Golfam, A., Batouli, SAH. & Sommer, W. (2021a). Overlapping but language-specific mechanisms in morphosyntactic processing in highly competent L2 acquired at school entry: fMRI evidence from an alternating language switching task. *Frontiers in Human Neuroscience*, 26(15), 1-13. <https://doi.org/10.3389/fnhum.2021.728549>
- Meykadeh, S., Golfam, A., Batouli, S. A. H., & Sommer, W. (2023a). The neural basis of Number and Person phi-features processing: An fMRI study in highly proficient bilinguals. *Bilingualism: Language and Cognition*, 1–16. <https://doi.org/10.1017/S1366728923000615>
- Meykadeh, A., Golfam, A., Nasrabadi, AM., Ameri, H. & Sommer, W. (2021b). First Event-Related Potentials evidence of auditory morphosyntactic processing in a subject-object-verb nominative-accusative language (Farsi). *Frontiers in psychology*, 16(12), 1-9. <https://doi.org/10.3389/fpsyg.2021.698165>
- Meykadeh, S., Khadem, A., Sulpizio, S. & Sommer, W. (2023b). Functional connectivity during morphosyntactic processing: An fMRI study in balanced Turkish-Persian bilinguals. *Journal of Neurolinguistics*. 68 (101162), 1-12. <https://doi.org/10.1016/j.jneuroling.2023.101162>
- Paradis, M. (1993). Linguistic, psycholinguistic and neurolinguistics aspects of “interference” in bilingual speakers: the activation threshold hypothesis. *Int. J. Psycholinguist.* 9, 133–145.
- Paradis, M. (2001). An integrated neurolinguistic theory of bilingualism (1976–2000). Paper Presented at the LACUS Forum 27 Houston, TX.
- Pliatsikas, C., DeLuca, V., Moschopoulou, E., & Saddy, J. D. (2017). Immersive bilingualism reshapes the core of the brain. *Brain structure & function*, 222(4), 1785–1795. <https://doi.org/10.1007/s00429-016-1307-9>
- Poldrack, R. A. (2007). Region of interest analysis for fMRI. *Social Cognitive and Affective Neuroscience*, 2(1), 67-70. <https://doi.org/10.1093/scan/nsm006>
- Purves, D., Augustine, G. J., Fitzpatrick, D., Hall, W. C., LaMantia, A., Mooney, R. D., Platt, M. L., & White, L. E. (2018) *Neuroscience*. 6th Edition. New York, NY: Sinauer Associates.
- Román, P., & Gómez-Gómez, I. (2022). Changes in Native Sentence Processing Related to Bilingualism: A Systematic Review and Meta-Analysis. *Frontiers in psychology*, 13, 1-15. <https://doi.org/10.3389/fpsyg.2022.757023>
- Sanides, F. (1970). Functional architecture of motor and sensory cortices in primates in the light of a new concept of neocortex evolution, in C. Noback, & W. Montagna (Eds.), *Advances in Primatology: The Primate Brain*. (pp. 137-208). New York, Appleton-Century-Crofts.
- Van der Werf, Y. D., Witter, M. P., Uylings, H. B., & Jolles, J. (2000). Neuropsychology of infarctions in the thalamus: a review. *Neuropsychologia*, 38(5), 613–627.

[https://doi.org/10.1016/s0028-3932\(99\)00104-9](https://doi.org/10.1016/s0028-3932(99)00104-9)

Zhu, J. D., Seymour, R. A., Szakay, A., & Sowman, P. F. (2020). Neuro-dynamics of executive control in bilingual language switching: An MEG study. *Cognition*, 199, 104247. <https://doi.org/10.1016/j.cognition.2020.104247>